

FÍSICA IV - AULA 3 - POLARIZAÇÃO

Os fenômenos ondulatórios estudados até agora: interferência e difração, apesar de estudados no contexto da teoria eletromagnética da luz, não dependem explicitamente do caráter vetorial da teoria de Maxwell. De fato, todos os resultados foram deduzidos a partir da equação escalar das ondas

$$\frac{\partial^2}{\partial z^2} f - \frac{1}{v^2} \frac{\partial^2}{\partial t^2} f = 0,$$

satisfita não apenas pelas componentes dos campos elétricos e magnéticos, mas também por ondas que se propagam em meios materiais como o som ou ondas na superfície da água.

Por outro lado, existem propriedades genuinamente ondulatórias que dependem intrinsecamente do caráter vetorial da onda. A polarização é uma dessas propriedades. Para compreendê-la é necessário classificar as ondas de acordo com as direções de propagação e oscilação.

Definição: "Dizemos que uma onda é longitudinal se a direção de oscilação coincidir com a direção de propagação. Por outro lado, uma onda é dita transversal se a direção de oscilação for perpendicular à de propagação."

Ondas mecânicas longitudinais como o **seismismo** ou ondas sísmicas produzem uma compressão e rarefações do meio conforme se propagam e por isso também são denominadas ondas de compressão ou pressão. Diferentemente das ondas longitudinais, as ondas transversais que se propagam em meios tridimensionais possuem graus de liberdade adicionais relativos às direções de oscilação, que geram um espaço bidimensional. Exemplos de ondas transversais são as ondas eletromagnéticas, as na corda de um violão ou ondas na superfície da água.

O fenômeno de polarizações corresponde a essa liberdade adicional que as ondas transversais têm para oscilar ao longo de duas direções ortogonais entre si e com respeito à direção de propagação. A polarização da luz já era conhecida por Newton e está presente em nosso cotidiano em lentes polarizadas usadas tanto em óculos de sol quanto câmeras fotográficas. Além disso, a polarização da luz é essencial para o funcionamento de telas LCD e de uma das maiores empregadas tecnológicas de projeção em 3D.

1- Equações de Maxwell num meio transparente

Da discussão anterior fica clara a necessidade de retornarmos às equações de Maxwell para podermos compreender o caráter transversal das ondas eletromagnéticas. Um meio transparente, como o ar ou o vidro, é necessariamente um isolante, posto que em materiais condutores, a energia eletromagnética é convertida em calor através do efeito Joule, deixando-os, consequentemente, opacos. Por simplicidade, consideraremos a propagação da luz na ausência de fontes, ou seja, não há cargas nem correntes livres no meio. Portanto, podemos começar a nossa análise a partir das equações de Maxwell num meio dielétrico com $\rho = 0$ e $\mathbf{J} = \emptyset$:

$$\nabla \cdot \mathbf{D} = 0$$

$$\nabla \cdot \mathbf{B} = 0$$

$$\nabla \times \mathbf{E} = -\partial_t \mathbf{B}$$

$$\nabla \times \mathbf{B} = \mu_0 \partial_t \mathbf{D}$$

em que empregamos o vetor deslocamento elétrico:

$$\mathbf{D} = \epsilon_0 \mathbf{E} + \mathbf{P} = K \epsilon_0 \mathbf{E},$$

as supormos que o meio se polariza linearmente com o vetor de polarizações \mathbf{P} e $K = \epsilon_r$ representa a constante dielétrica do meio.

Para encontrarmos a equação de onda tomamos inicialmente o rotacional da lei de Faraday:

$$\nabla \times (\nabla \times \mathbf{E}) = -\nabla \times (\partial_t \mathbf{B}),$$

supondo que os campos são pelo menos de classe $C^2(\mathbb{R}^4)$, podemos invocar o teorema de Schwarz e empregar a seguinte identidade vetorial:

$$\nabla \times (\nabla \times \mathbf{F}) = \nabla(\nabla \cdot \mathbf{F}) - \nabla^2 \mathbf{F}$$

para obter:

$$\nabla(\nabla \cdot \mathbf{E}) - \nabla^2 \mathbf{E} = -\partial_t(\nabla \times \mathbf{B})$$

usando então a lei de Gauß no lado esquerdo e a lei de Ampère-Maxwell no lado direito

$$-\nabla^2 \mathbf{E} = -\mu_0 \partial_t^2 \mathbf{D}.$$

Finalmente, da definição do vetor de deslocamento, concluímos que o campo elétrico satisfaz a equações das ondas:

$$-\nabla^2 \mathbf{E} = -K \epsilon_0 \mu_0 \partial_t^2 \mathbf{E} \Rightarrow \partial_z^2 E_i - \frac{1}{v^2} \partial_t^2 E_i = 0, \quad i=1,2,3$$

em que a velocidade da onda no meio é dada por:

$$v = \frac{1}{\sqrt{K \epsilon_0 \mu_0}} = \frac{c}{\sqrt{\kappa}}$$

Procedendo de forma análoga, a partir da lei de Ampère-Maxwell, obtemos a mesma equação para as componentes do campo magnético, i.e.,

$$\partial_z^2 B_i - \frac{1}{v^2} \partial_t^2 B_i = 0, \quad i=1,2,3.$$

Exercício 1: "Prove a equação de onda para o campo magnético."

Procuremos por soluções das equações de Maxwell que representam uma onda se propagando ao longo da direção \mathbf{e}_3 . Portanto, basta que consideremos campos elétricos e magnéticos que só dependem das coordenadas z e t , i.e.,

$$\mathbf{E} = \mathbf{E}(z, t) \text{ e } \mathbf{B} = \mathbf{B}(z, t).$$

Nesse caso, as equações de Maxwell amarram não-trivialmente as componentes do campo eletromagnético.

1) Lei de Gauß : $\nabla \cdot \mathbf{D} = 0 \Rightarrow \kappa \epsilon_0 \nabla \cdot \mathbf{E} = 0$
 $\Rightarrow \partial_z E_3(z, t) = 0$

2) Lei de Gauß Magnética : $\nabla \cdot \mathbf{B} = 0$
 $\Rightarrow \partial_z B_3(z, t) = 0$

3) Lei de Faraday : $\nabla \times \mathbf{E} = -\partial_t \mathbf{B}$
 $\Rightarrow \begin{cases} \partial_z E_2(z, t) = \partial_t B_1(z, t) \\ \partial_z E_1(z, t) = -\partial_t B_2(z, t) \\ \partial_t B_3(z, t) = 0 \end{cases}$

4) Lei de Ampère-Maxwell : $\nabla \times \mathbf{B} = \mu_0 \partial_t \mathbf{D} \Rightarrow \nabla \times \mathbf{B} = \mu_0 \epsilon_0 \partial_t \mathbf{E} = \frac{1}{\nu^2} \partial_t \mathbf{E}$

$$\Rightarrow \begin{cases} \partial_z B_2(z,t) = -\frac{1}{\nu^2} \partial_t E_1(z,t) \\ \partial_z B_1(z,t) = \frac{1}{\nu^2} \partial_t E_2(z,t) \\ \partial_t E_3(z,t) = 0 \end{cases}$$

Exercício 2: "Demonstre explícitamente as condições obtidas a partir das Equações de Maxwell." //

As condições :

$$\left\{ \begin{array}{l} \partial_z E_3(z,t) = 0 \\ \partial_t E_3(z,t) = 0 \end{array} \right. \quad \text{e} \quad \left\{ \begin{array}{l} \partial_z B_3(z,t) = 0 \\ \partial_t B_3(z,t) = 0 \end{array} \right.$$

demandam que

$$E_3(z,t) = C_1 \quad \text{e} \quad B_3(z,t) = C_2, \quad C_1, C_2 \in \mathbb{R}.$$

Como estamos interessados em soluções de onda, soluções estáticas, como as acima para as componentes dos campos elétricos e magnéticos ao longo do eixo \hat{O}_z podem ser desprezadas, de forma que podemos tomar sem perda de generalidade $C_1 = C_2 = 0$. Posto de outra forma, os campos $\mathbf{E}(z,t)$ e $\mathbf{B}(z,t)$ são ortogonais à direção

de propagação. Consequentemente, temos que as ondas eletromagnéticas são transversais.

Notando que uma solução geral da equação unidimensional das ondas

$$\partial_z^2 f(z,t) - \frac{1}{c^2} \partial_t^2 f(z,t) = 0$$

é dada pela superposição de duas ondas propagando ao longo do eixo \hat{O}_z ,

$f_+(z,t) = f_+(z-vt)$ se propagando no sentido positivo e $f_-(z,t) = f_-(z+vt)$

se propagando no sentido negativo, i.e.,

$$f(z,t) = \alpha_+ f_+(z-vt) + \alpha_- f_-(z+vt),$$

podemos clarificar o significado físico das demais condições impostas pelas equações de Maxwell

Exercício 3: "Demonstre que $f_{\pm}(z \mp vt)$ satisfazem a equação unidimensional das ondas."

Se por simplicidade computacional, considerarmos apenas a onda eletromagnética que se propaga no sentido positivo, podemos adotar o seguinte Ansatz para as componentes remanescentes do campo eletromagnético:

$$E_i(z,t) = E_i(\xi) \quad \text{e} \quad B_i(z,t) = B_i(\xi), \quad i=1,2 \quad \text{e} \quad \xi = z - vt.$$

Dessa forma as condições:

$$\begin{cases} \partial_z B_2(z,t) = -\frac{1}{v^2} \partial_t E_1(z,t) \\ \partial_z E_1(z,t) = -\partial_t B_2(z,t) \end{cases}$$

implicam:

$$\partial_z B_2(\xi) = \partial_{\xi} B_2(\xi) \partial_z \xi = \partial_{\xi} B_2(\xi)$$

$$= -\frac{1}{v^2} \partial_t E_1(\xi) = -\frac{1}{v^2} \partial_{\xi} E_1(\xi) \partial_t \xi = \frac{1}{v} \partial_{\xi} E_1(\xi)$$

$$\Rightarrow \partial_{\xi} (E_1(\xi) - v B_2(\xi)) = 0 \Rightarrow E_1(\xi) - v B_2(\xi) = C_3, \quad C_3 \in \mathbb{R}.$$

Novamente, como estamos interessados em fenômenos dinâmicos, podemos escolher sem perda de generalidade $C_3 = 0$. Logo,

$$E_1(\xi) = v B_2(\xi).$$

Exercício 4: "Demonstre que a segunda equação do sistema acima também se reduz à condição $E_1(\xi) = v B_2(\xi)$."

Finalmente, as equações restantes:

$$\left\{ \begin{array}{l} \partial_z B_1(z,t) = \frac{1}{\nu^2} \partial_t E_2(z,t) \\ \partial_z E_2(z,t) = \partial_t B_1(z,t) \end{array} \right.$$

levam à seguinte condição:

$$E_2(\xi) = -v B_1(\xi).$$

Exercício 5: "Demonstre esse fato."

Coletando os resultados obtidos, concluímos que os campos elétrico e magnético de uma onda que se propaga ao longo da direção \hat{O}_z no sentido positivo tem a seguinte forma:

$$\mathbf{E}(z,t) = E_1(\xi) \mathbf{e}_1 + E_2(\xi) \mathbf{e}_2$$

$$\mathbf{B}(z,t) = -\frac{1}{\nu} E_2(\xi) \mathbf{e}_1 + \frac{1}{\nu} E_1(\xi) \mathbf{e}_2 = \frac{1}{\nu} \mathbf{e}_3 \times \mathbf{E}(z,t).$$

Como não há nada de particular com respeito à direção definida por \mathbf{e}_3 , podemos trivialmente generalizar para uma onda que se propaga ao longo de uma direção $w \in \mathbb{R}^3$ qualquer.

$$\mathbf{B} = \frac{1}{\nu} w \times \mathbf{E} = \sqrt{\mu_0 \epsilon_0} w \times \mathbf{E}$$

Exercício 6: "Obtenha as expressões dos campos elétricos e magnéticos que se propagam ao longo da direção \hat{O}_z no sentido negativo."

Sabemos, por outro lado que, em um meio transparente com índice de refração n , a velocidade da luz é:

$$v = \frac{c}{n}.$$

Comparando com a expressão obtida para v a partir das equações de Maxwell, i.e.,

$$v = \frac{c}{\sqrt{\epsilon_r}},$$

obtemos a relação de Maxwell:

$$n = \sqrt{\epsilon_r},$$

que relaciona o índice de refração de um meio transparente com a sua constante dieletrica.

Antes de compararmos tal previsão com resultados experimentais é importante lembrar que existe dispersão, ou seja tanto o índice de refração n quanto a constante dieletrica variam com a frequência ω . Demandando que qualquer comparação deva ser feita com respeito a luz monocromática. Além disso, devemos nos restringir a meios dieletricos lineares, devido à relações que suprem entre os vetores E e D .

Substância	$n_{300\mu m}^2$	κ
KCl	4,8	4,75
KBr	5,1	4,66
NH ₄ Cl	6,8	6,85

O mesmo vale para gases fracamente dispersivos:

Substância	n^2 (amarelo)	κ
Ar	1,000294	1,000295
H ₂	1,000138	1,000132
CO	1,000346	1,000345

2 - Vetor de Poynting

Para campos quase-estacionários no interior de um dielétrico a densidade de energia elétrica aumenta por um fator κ , de forma que a densidade total de energia eletromagnética é dada por:

$$U = \frac{1}{2} \kappa \epsilon_0 \|E\|^2 + \frac{1}{2} \cdot \frac{1}{\mu_0} \|B\|^2$$

$$= \frac{1}{2\kappa\epsilon_0} \|D\|^2 + \frac{1}{2\mu_0} \|B\|^2.$$

A taxa de variação temporal da densidade de energia eletromagnética pode ser facilmente calculada usando as equações de Maxwell:

$$\begin{aligned}\partial_t U &= \frac{1}{\kappa \epsilon_0} \mathbf{D} \cdot \partial_t \mathbf{D} + \frac{1}{\mu_0} \mathbf{B} \cdot \partial_t \mathbf{B} \\ &= \frac{1}{\mu_0} \mathbf{E} \cdot (\nabla \times \mathbf{B}) - \frac{1}{\mu_0} \mathbf{B} \cdot (\nabla \times \mathbf{E}) \\ &= - \nabla \cdot \left(\frac{1}{\mu_0} \mathbf{E} \times \mathbf{B} \right),\end{aligned}$$

que leva à seguinte equação de continuidade:

$$\nabla \cdot \mathbf{S} + \partial_t U = 0,$$

em que introduzimos a seguinte quantidade

$$\mathbf{S} = \frac{1}{\mu_0} \mathbf{E} \times \mathbf{B}$$

denominada vetor de Poynting. A equação de continuidade acima expressa a conservação local da energia, de modo que o vetor de Poynting corresponde a uma densidade de corrente de energia.

Para as soluções de onda propagante ao longo da direção $\hat{\mathbf{O}}_z$ no sentido positivo consideradas na seção anterior, temos que

$$\mathbf{B} = \sqrt{\kappa \epsilon_0 \mu_0} \hat{\mathbf{O}}_3 \times \mathbf{E}.$$

Logo, as densidades de energia elétrica e magnética coincidem:

$$U_M = \frac{1}{2\mu_0} \| \mathbf{B} \|^2 = \frac{1}{2} \kappa \epsilon_0 \| \mathbf{E} \|^2 = U_E,$$

e o vetor de Poynting assume a seguinte forma:

$$\begin{aligned} S &= \frac{1}{\mu_0} |E \times B| = \frac{1}{\sqrt{\mu_0}} |E \times (\epsilon_0 \times E)| = \sqrt{\frac{\epsilon_0}{\mu_0}} \|E\|^2 \epsilon_0 = \frac{1}{\sqrt{\epsilon_0 \mu}} \epsilon_0 \|E\|^2 \epsilon_0 \\ &= V U \epsilon_0 \end{aligned}$$

Consequentemente, o vetor de Poynting consiste em uma corrente de densidade de energia com magnitude U que se propaga com a velocidade da luz no meio $V = U \epsilon_0$.

Exemplo 1: "Calcule as densidades de energia elétrica e magnética e o vetor de Poynting para uma onda plana monocromática."

"Podemos representar uma onda eletromagnética plana monocromática em notação complexa por

$$E(r, t) = \operatorname{Re}[E(r) e^{-i\omega t}] \quad \text{e} \quad B(r, t) = \operatorname{Re}[B(r) e^{-i\omega t}] .$$

Como na região do visível, $\omega \sim 10^{15} \text{ s}^{-1}$, não temos detectores sensíveis o suficiente para registrar a variação extremamente rápida dessas grandezas. No máximo somos capazes de medir os valores médios temporais sobre um grande número de oscilações.

Como ambas as densidades de energia e o vetor de Poynting envolvem produtos dos campos em notação complexa, é conveniente deduzirmos uma expressão geral para o

valor médio do produto das partes reais de números complexos. Para tanto, sejam

$a, b \in \mathbb{C}$ e considere a seguinte média temporal sobre n períodos:

$$\langle \operatorname{Re}[ae^{-i\omega t}] \operatorname{Re}[be^{-i\omega t}] \rangle = \frac{1}{nT} \int_{t_0}^{t_0+nT} dt \{ \operatorname{Re}[ae^{-i\omega t}] \operatorname{Re}[be^{-i\omega t}] \}$$

em que $T = \frac{2\pi}{\omega}$. Notando que

$$\begin{aligned} \operatorname{Re}[ae^{-i\omega t}] \operatorname{Re}[be^{-i\omega t}] &= \frac{1}{2} (\bar{a}e^{i\omega t} + ae^{-i\omega t}) \cdot \frac{1}{2} (\bar{b}e^{i\omega t} + be^{-i\omega t}) \\ &= \frac{1}{4} (\bar{a}\bar{b} + a\bar{b} + \bar{a}\bar{b} e^{2i\omega t} + ab e^{-2i\omega t}) \end{aligned}$$

e que

$$\langle e^{\pm 2i\omega t} \rangle = \frac{1}{nT} \int_{t_0}^{t_0+nT} dt e^{\pm 2i\omega t} = e^{\pm 2i\omega(t_0 - 1)} (e^{\pm 2i\omega nT} - 1) = 0,$$

pois $e^{\pm 2i\omega nT} = e^{\pm 4i\pi T} = 1$. Portanto,

$$\langle \operatorname{Re}[ae^{-i\omega t}] \operatorname{Re}[be^{-i\omega t}] \rangle = \frac{1}{4} (\bar{a}\bar{b} + a\bar{b}) = \frac{1}{2} \operatorname{Re}[\bar{a}\bar{b}].$$

Com isso obtemos os valores médios das densidades de energia elétrica e magnética:

$$\langle U_E(r, t) \rangle = \frac{1}{4} \kappa \epsilon_0 |\vec{E} \cdot E| = \frac{1}{4} \kappa \epsilon_0 |E|^2$$

$$\langle U_M(r, t) \rangle = \frac{1}{4\mu_0} |\vec{B} \cdot B| = \frac{1}{4\mu_0} |B|^2.$$

Já para o vetor de Poynting temos:

$$\langle S \rangle = \left\langle \frac{1}{\mu_0} |E \times B| \right\rangle = \frac{1}{2\mu_0} \operatorname{Re}[E \times \bar{B}] = \operatorname{Re} S^+,$$

em que introduzimos o chamado vetor de Poynting complexo:

$$S^+ = \frac{1}{2\mu_0} |E \times \bar{B}|$$

Para uma onda plana propagando na direção \hat{u} podemos employar o vínculo existente entre os campos elétrico e magnético para escrever:

$$S^+ = \frac{1}{2\mu_0 v} |\vec{E} \times (\hat{u} \times \vec{E})| = \frac{1}{2} \sqrt{\frac{\kappa \epsilon_0}{\mu_0}} |E|^2 u,$$

de forma que o valor médio do vetor de Poynting é dado por:

$$\langle S \rangle = S^+ = v \langle u \rangle u = \frac{v \kappa \epsilon_0}{2} |E|^2 u.$$

Finalmente, podemos calcular a intensidade I da onda, projetando S na direção de movimento:

$$I = \langle S \rangle \cdot u = v \langle u \rangle = \frac{v \kappa \epsilon_0}{2} |E|^2,$$

comprovando a interpretação de $|E(r)|$ como a função de onda vetorial associada à luz."

3 - Polarizações

Vimos anteriormente, que a solução mais geral descrevendo uma onda eletromagnética se propagando na direção \hat{O}_z no sentido positivo é dada por:

$$|\vec{E}(z, t)| = E_1(\xi) \hat{e}_1 + E_2(\xi) \hat{e}_2, \quad \xi = z - vt,$$

$$|\vec{B}(z, t)| = -\frac{1}{v} E_2(\xi) \hat{e}_1 + \frac{1}{v} E_1(\xi) \hat{e}_2 = \frac{1}{v} \hat{e}_3 \times |\vec{E}(z, t)|,$$

em que v é a velocidade de propagação da onda no meio dielétrico

homogêneos e linearmente polarizados. Para uma onda plana monocromática com frequência ω , a dependência temporal deve ser da forma:

$$e^{-i\omega t}$$

Como

$$z - vt = v \left(-t + \frac{z}{v} \right)$$

e

$$\frac{\omega}{v} = k$$

concluímos que a dependência espacial deve ser da forma:

$$e^{ikz}$$

Portanto, ao acrescentarmos uma defasagem inicial δ arbitrária, podemos escrever:

$$E_1(z) = a e^{i(kz - \omega t + \delta_1)},$$

$$E_2(z) = b e^{i(kz - \omega t + \delta_2)},$$

em que $a, b \in \mathbb{R}_+$ são as amplitudes reais das componentes transversais e $\delta_1, \delta_2 \in \mathbb{R}$ as respectivas constantes de fase. Para descrever a polarização da luz, é conveniente agrupar as componentes transversais do campo elétrico em um vetor de duas componentes:

$$|E\rangle = \begin{pmatrix} E_1(\xi) \\ E_2(\xi) \end{pmatrix} = \begin{pmatrix} ae^{i\delta_1} \\ be^{i\delta_2} \end{pmatrix} e^{i(kz-wt)},$$

O vetor: $|\psi\rangle = \begin{pmatrix} ae^{i\delta_1} \\ be^{i\delta_2} \end{pmatrix}$ é conhecido como vetor de Jones ou vetor de polarização.

Nossa próxima meta é descrever a curva traçada pelo vetor $|E\rangle$ no plano, conforme a onda propaga. Por simplicidade computacional, podemos tomar sem perda de generalidade o plano onde projetamos $|E$ para obter $|E\rangle$, como o plano $z=0$. Além disso, com uma escolha arbitraria da origem do nosso sistema de coordenadas, podemos tomar $\delta_1=0$. Assim, em notação real:

$$|E\rangle = \begin{pmatrix} a \cos \varphi \\ b \cos(\varphi + \delta) \end{pmatrix}, \quad \varphi = kz - wt, \quad \delta = \delta_2 - \delta_1.$$

Claramente, como $|E_1| \leq a$ e $|E_2| \leq b$ tal curva está contida em um retângulo de lados $2a$ e $2b$. Sua equação pode ser obtida ao eliminar-mos o parâmetro φ da seguinte forma:

$$\frac{E_2}{b} = \cos(\varphi + \delta) = \cos\varphi \cos\delta - \sin\varphi \sin\delta$$

Notando que:

$$\frac{E_1}{a} = \cos\varphi \Rightarrow \left(\frac{E_1}{a}\right)^2 = \cos^2\varphi = 1 - \sin^2\varphi \Rightarrow \sin\varphi = \pm \sqrt{1 - \left(\frac{E_1}{a}\right)^2}$$

Logo,

$$\begin{aligned} \frac{E_2}{b} - \frac{E_1}{a} \cos\delta &= \pm \sin\delta \sqrt{1 - \left(\frac{E_1}{a}\right)^2} \\ \Rightarrow \left(\frac{E_2}{b}\right)^2 - \frac{2E_1 E_2}{ab} \cos\delta + \left(\frac{E_1}{a}\right)^2 \cos^2\delta &= \sin^2\delta \left[1 - \left(\frac{E_1}{a}\right)^2\right] \\ \Rightarrow \left(\frac{E_2}{b}\right)^2 - \frac{2E_1 E_2}{ab} \cos\delta + \left(\frac{E_1}{a}\right)^2 &= \sin^2\delta. \end{aligned} \quad (*)$$

Tal curva é conhecida como **curva de Lissajous** ou **curva de Bowditch**. No caso em questão dependendo da fase relativa δ ela se degenera a uma elipse ou um segmento de reta. São esses casos particulares que dão origem a diferentes formas de polarizações da luz.

A- Luz linearmente polarizada

Tomando $\delta = n\pi$ com $n \in \mathbb{Z}$ a equação (*) se torna:

$$\left(\frac{E_2}{b}\right)^2 + 2(-1)^{n+1} \frac{E_1 E_2}{ab} + \left(\frac{E_1}{a}\right)^2 = 0$$

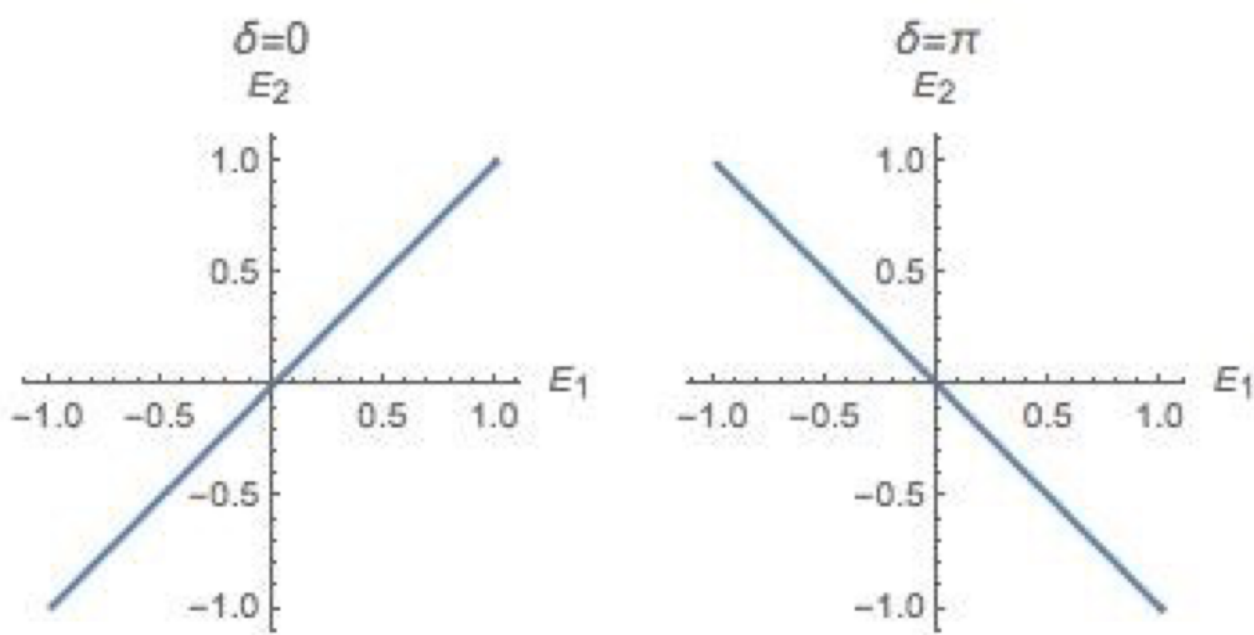
de forma que, para n par temos:

$$\left(\frac{E_1}{a} - \frac{E_2}{b}\right)^2 = 0 \Rightarrow E_2 = \frac{b}{a} E_1,$$

que corresponde a um segmento de reta. Já para n ímpar, temos:

$$\left(\frac{E_2}{b} + \frac{E_1}{a}\right)^2 = 0 \Rightarrow E_2 = -\frac{b}{a}E_1,$$

correspondendo a outro segmento de reta.



Em ambos os casos, temos que o campo elétrico pode ser escrito como

$$|E\rangle = [a\begin{pmatrix} 1 \\ 0 \end{pmatrix} \pm b\begin{pmatrix} 0 \\ 1 \end{pmatrix}] e^{i\varphi}$$

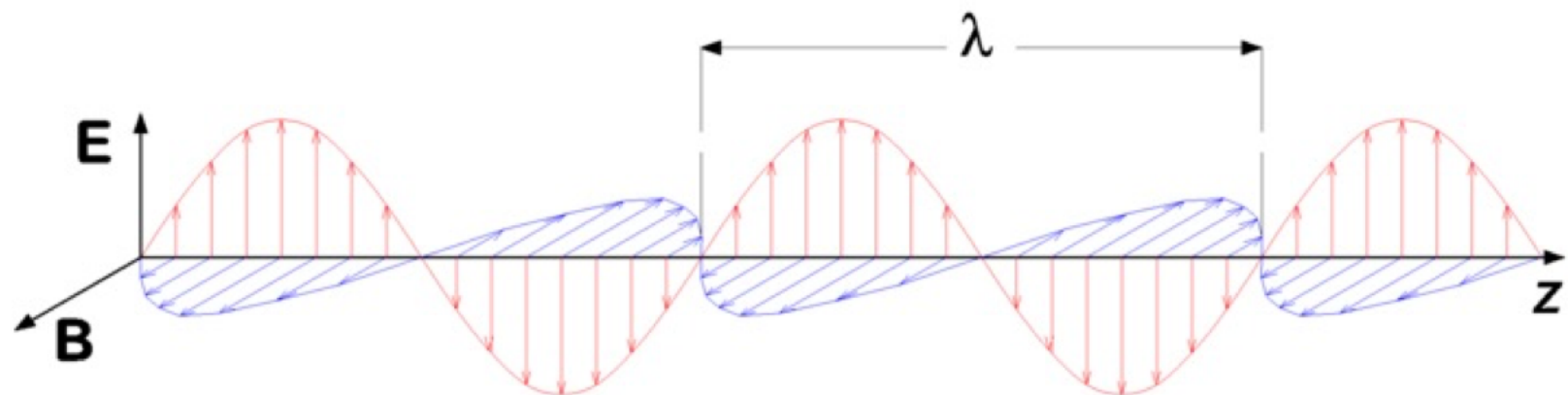
ou seja, o campo elétrico permanece sempre ao longo de uma mesma direção. Naturalmente, o mesmo também ocorre com o campo magnético

$$|B\rangle = \frac{1}{\sqrt{2}} [\mp b\begin{pmatrix} 1 \\ 0 \end{pmatrix} + a\begin{pmatrix} 0 \\ 1 \end{pmatrix}] e^{i\varphi}.$$

Por esse motivo, diz-se que a onda é linearmente polarizada.

Conveniona-se chamar o plano gerado por $(|E\rangle, \omega)$ de plano de vibração e o gerado por $(|B\rangle, \omega)$ de plano de polarização. Consequentemente,

O perfil de uma onda eletromagnética linearmente polarizada é o seguinte



Fonte: wikipedia

B - Luz circularmente polarizada

Tomando: $a=b$ e $\delta = (n + \frac{1}{2})\pi$ com $n \in \mathbb{Z}$ em (*), temos:

$$E_2^2 - 2E_1E_2 \cos(n\pi + \frac{\pi}{2}) + E_1^2 = a^2 \sin^2(n\pi + \frac{\pi}{2})$$

$$\Rightarrow E_1^2 + 2E_1E_2 \sin(n\pi) + E_1^2 = a^2 \cos^2(n\pi)$$

$$\Rightarrow E_1^2 + E_2^2 = a^2$$

De forma que o vetor $|E\rangle$ descreve um círculo de raio a . Notando que

$$e^{i\delta} = e^{i\pi n} e^{\frac{i\pi}{2}} = (-1)^n i,$$

poderemos escrever o campo elétrico da seguinte forma

$$|E\rangle = a \left[\begin{pmatrix} 1 \\ 0 \end{pmatrix} + (-1)^n i \begin{pmatrix} 0 \\ 1 \end{pmatrix} \right] e^{i\phi}$$

e o magnético

$$|B\rangle = \frac{a}{c} \left[(-1)^{n+1} i \begin{pmatrix} 1 \\ 0 \end{pmatrix} + \begin{pmatrix} 0 \\ 1 \end{pmatrix} \right] e^{i\phi}$$

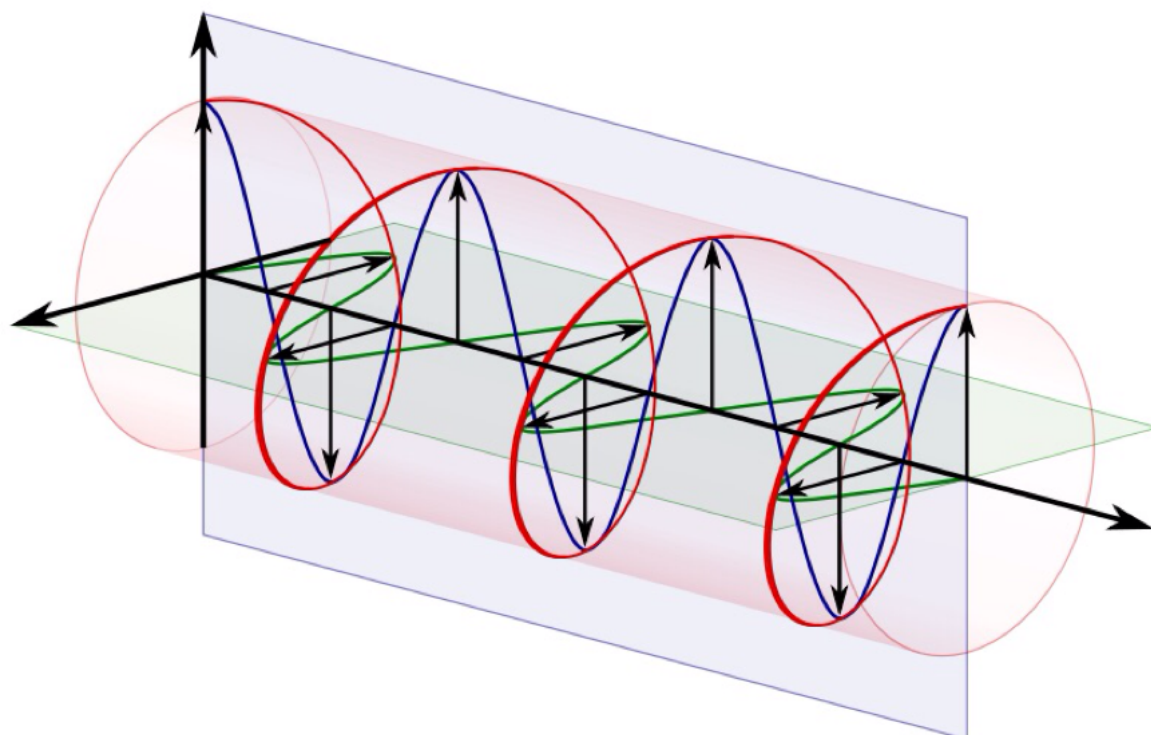
Para n par :

$$|E\rangle = a e^{i\varphi} \begin{pmatrix} 1 \\ i \end{pmatrix}$$

temos luz circularmente polarizada para a esquerda, pois ao tomarmos a parte real, obtemos

$$\operatorname{Re}[|E\rangle] = a \cos \varphi \begin{pmatrix} 1 \\ 0 \end{pmatrix} - a \sin \varphi \begin{pmatrix} 0 \\ 1 \end{pmatrix},$$

que corresponde a um círculo percorrido no sentido horário (positivo de acordo com a regra da mão esquerda).



Fonte: wikipedia

Para n ímpar:

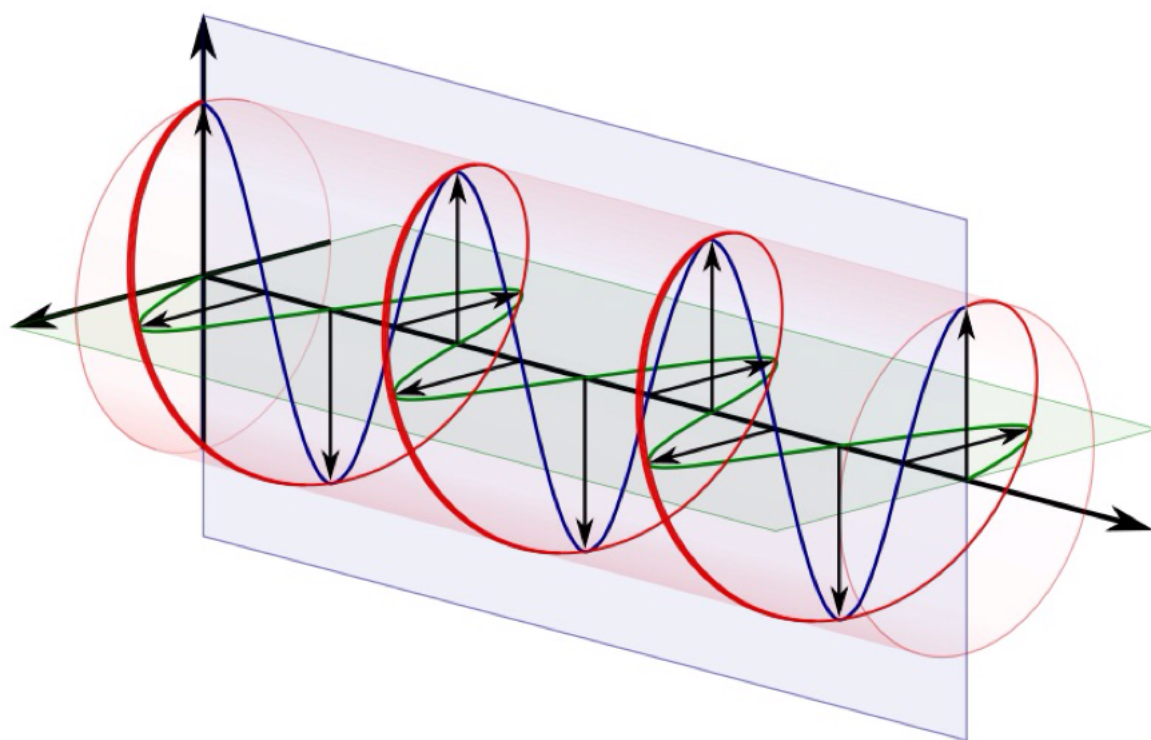
$$|E\rangle = a e^{i\varphi} \begin{pmatrix} 1 \\ -i \end{pmatrix}$$

a luz está circularmente polarizada para a direita. A justificativa da nomen-

clatura é similar. Tomando a parte real da expressão anterior:

$$\text{Re} [|E\rangle] = a \cos \varphi \begin{pmatrix} 1 \\ 0 \end{pmatrix} + a \sin \varphi \begin{pmatrix} 0 \\ 1 \end{pmatrix}$$

concluímos que a circunferência é percorrida no sentido antihorário (positivo de acordo com a regra da mão direita).



Fonte: wikipedia

É usual representar os vetores de polarização circular por:

$$\varepsilon_+ = \frac{1}{\sqrt{2}} \begin{pmatrix} 1 \\ i \end{pmatrix}, \quad \varepsilon_- = \frac{1}{\sqrt{2}} \begin{pmatrix} 1 \\ -i \end{pmatrix},$$

que animam como os vetores:

$$e_1 = \begin{pmatrix} 1 \\ 0 \end{pmatrix}, \quad e_2 = \begin{pmatrix} 0 \\ 1 \end{pmatrix}$$

fornecem uma base ortonormal para o plano transversal à direções de propagação.

Exercício 7: "Demonstre que os vetores ε_{\pm} constituem uma base ortonormal para o plano $\text{span}\{|E\rangle, |B\rangle\}$ e mostre que: $\varepsilon_{\pm} = \frac{1}{\sqrt{2}}(\varepsilon_1 \pm i\varepsilon_2)$. Sugestão: lembre que o plano de polarização pode ser representado pelo espaço vetorial $V = \{\mathbb{R}^2, \mathbb{C}\}$."

Consequentemente, qualquer onda plana monocromática pode ser representada como uma superposição de ondas linearmente polarizadas

$$|E\rangle = E_1 \varepsilon_1 + E_2 \varepsilon_2$$

ou ondas circularmente polarizadas

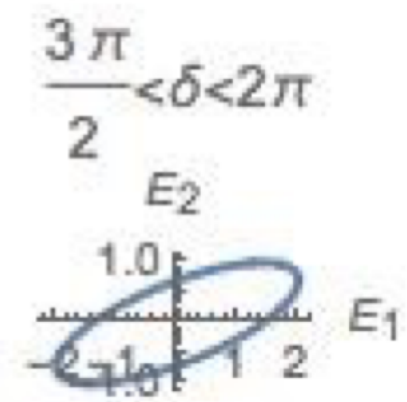
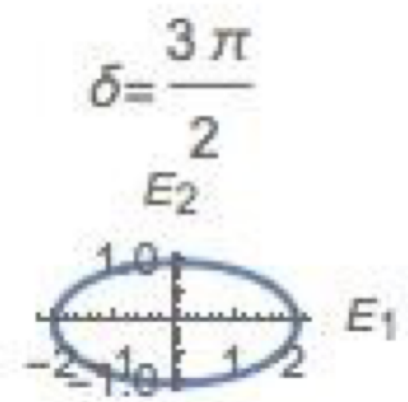
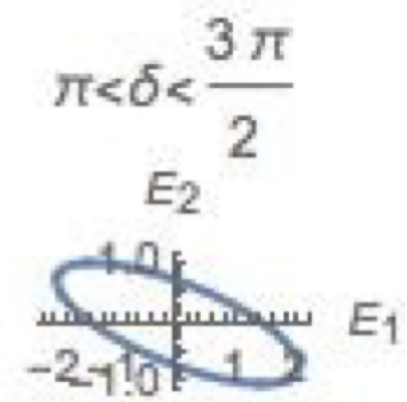
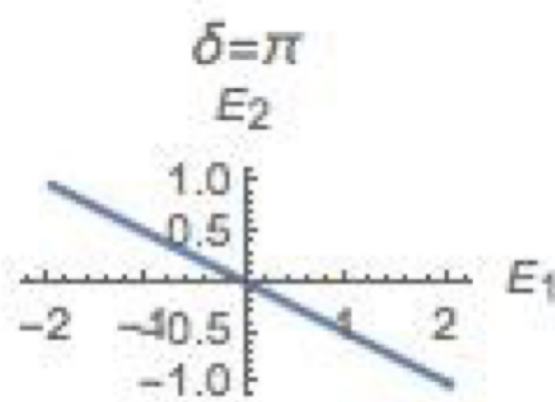
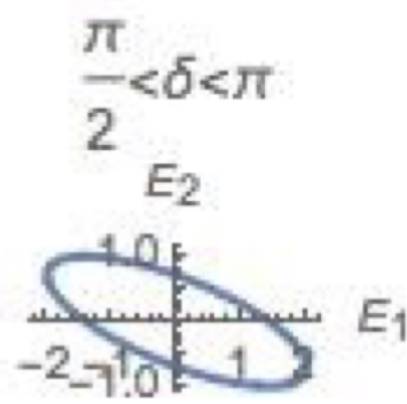
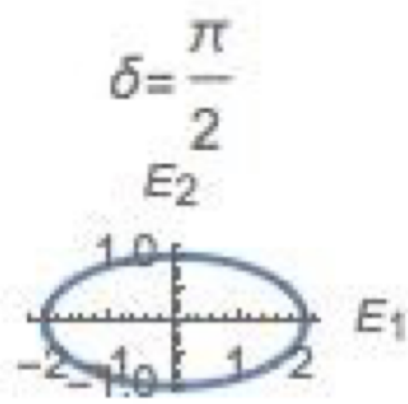
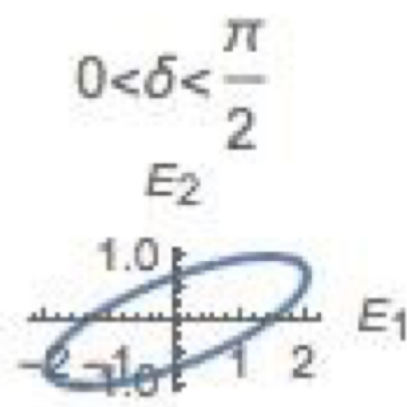
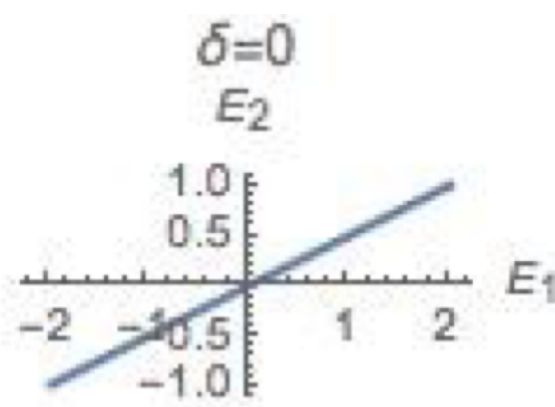
$$|E\rangle = \frac{1}{\sqrt{2}} \{ (E_1 - iE_2) \varepsilon_+ + (E_1 + iE_2) \varepsilon_- \}$$

C - Luz elipticamente polarizada

No caso mais geral da curva de Lissajous descrita pelas equações (*)

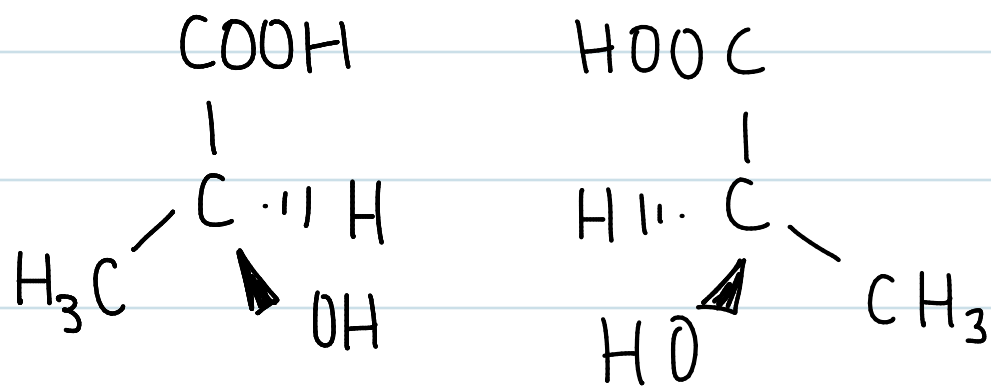
$$\left(\frac{E_2}{b}\right)^2 - 2 \frac{E_1 E_2}{ab} \cos \delta + \left(\frac{E_1}{a}\right)^2 = \sin^2 \delta,$$

temos elipses para $\delta \neq n\pi$, $n \in \mathbb{Z}$. A figura seguinte mostra a forma da curva de polarização para diferentes regimes da defasagem δ para amplitudes $a=2$ e $b=1$.



4 - Atividade Ótica Natural

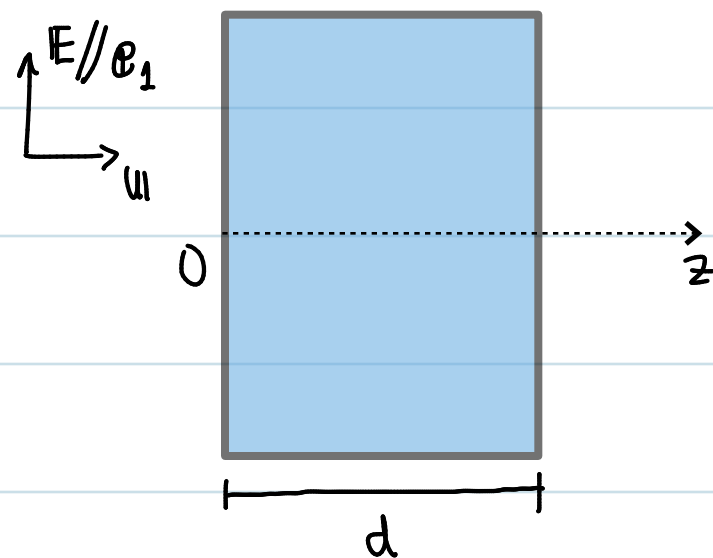
Existem substâncias na natureza que, apesar de serem transparentes, possuem índices de refração diferentes para luz circularmente polarizada para direita ou esquerda. Essa propriedade é uma consequência de estruturas quirais que privilegiam um sentido de rotação da luz. Na química, tais substâncias recebem o nome de enantiômeros ou isômeros óticos e são caracterizadas pela presença de átomos quirais que possibilitam duas configurações que não são sobreponíveis. Um exemplo é o ácido láctico:



Consideremos, pois, a incidência de uma onda plana linearmente polarizada sobre um meio composto por um certo enantiômero com espessura d. Desprezando o fator temporal na face, temos:

$$E_0 = E_0 e^{ik_0 z} \mathbb{P}_1, \quad z \leq 0.$$

Escolhendo a origem na face de entrada, escrevemos:



$$E_0 = E_0 \hat{e}_z, z = 0 \\ = \frac{E_0}{\sqrt{2}} (\hat{e}_+ + \hat{e}_-)$$

em que de somos a onda incidente na superposição de duas ondas circularmente polarizadas. Como os fatores de propagação são diferentes para as diferentes polarizações circulares, dentro do meio devemos ter

$$E(z) = \frac{E_0}{\sqrt{2}} \{ e^{ik_+ z} \hat{e}_+ + e^{ik_- z} \hat{e}_- \}, z > 0$$

em que introduzimos $k_{\pm} = n_{\pm} k_0$ com n_+ (n_-) o índice de refração para polarizações circulares para esquerda (direita). Denotando o índice de refração médio do meio por:

$$\bar{n} = \frac{1}{2} (n_+ + n_-)$$

e a diferença entre os índices por:

$$\delta n = n_+ - n_-,$$

temos:

$$n_{\pm} = \bar{n} \pm \frac{1}{2} \delta n \Rightarrow k_{\pm} = \bar{n} k_0 \pm \delta n k_0.$$

Portanto,

$$\begin{aligned}
 E(z) &= \frac{E_0}{\sqrt{2}} e^{i \bar{n} k_0 z} \left(e^{\frac{i}{2} \delta n k_0 z} E_+ + e^{-\frac{i}{2} \delta n k_0 z} E_- \right) \\
 &= \frac{E_0}{2} e^{i \bar{n} k_0 z} \left\{ \left(e^{\frac{i}{2} \delta n k_0 z} + e^{-\frac{i}{2} \delta n k_0 z} \right) E_1 \right. \\
 &\quad \left. + i \left(e^{\frac{i}{2} \delta n k_0 z} - e^{-\frac{i}{2} \delta n k_0 z} \right) E_2 \right\} \\
 &= E_0 e^{i \bar{n} k_0 z} \left\{ \cos\left(\frac{\delta n k_0 z}{2}\right) E_1 - \sin\left(\frac{\delta n k_0 z}{2}\right) E_2 \right\}.
 \end{aligned}$$

Assim, após atravessar a espessura d do enantiômero, teremos:

$$E(d) = E_0 e^{i \bar{n} k_0 d} \left\{ \cos\left(\frac{\delta n k_0 d}{2}\right) E_1 - \sin\left(\frac{\delta n k_0 d}{2}\right) E_2 \right\},$$

indicando que ocorreu uma rotação da direção de polarizações. O ângulo θ



é dado por:

$$\theta = - \frac{\delta n k_0 d}{2}.$$

Essa rotação é proporcional à espessura do meio atravessada e à diferença δn entre os índices de refração. Se $n_+ > n_-$

a rotação é no sentido horário (para a direita) e a substância é dita destrogiра. Já, se $n_+ < n_-$, a rotação é no sentido antihorário (para a esquerda) e a substância é dita levógiра.

Açúcares de origem biológica e que podem ser metabolizados por seres vivos são unicamente destrogiros. Consequentemente, açúcares

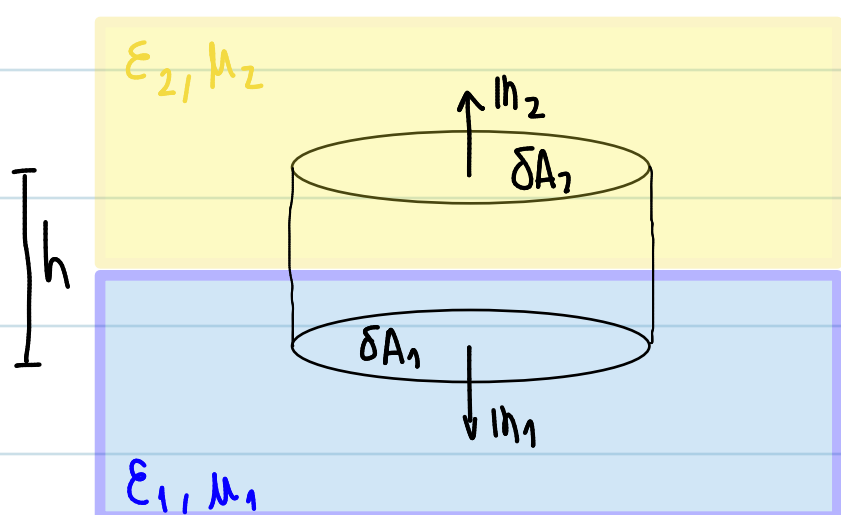
lúgicos sintetizados artificialmente não são digeridos por seres vivos. Como os índices de refração $n \pm$ são proporcionais à concentração da respectiva substância na solução, a atividade ótica pode ser utilizada para determinar a composição de soluções em sacanímetros.

5 - Condições de Contorno

Para abordarmos os problemas de reflexão e refração de ondas eletromagnéticas, precisamos compreender o comportamento do campo eletromagnético na interface entre dois meios materiais distintos. Neste ponto é importante justificar o tratamento dessa interface por uma superfície de descontinuidade. De fato, do ponto de vista microscópico, a transição entre dois meios não é abrupta, ocorrendo ao longo de uma região que cobre várias camadas atômicas. Contudo, a espessura h dessa camada de transição é muito pequena quando comparada com os comprimentos de onda típicos visível. Portanto, podemos aplicar as equações de Maxwell em sua forma integral à camada de transição e tomar posteriormente o limite $h \rightarrow 0$.

A - Componentes normais

Considere a interface entre dois meios caracterizados por suas permissividades elétricas e permeabilidades magnéticas ϵ_1, μ_1 e ϵ_2, μ_2 . Seja então um



cilindro com altura h e bases com áreas δA_1 e δA_2 atravessando a interface entre os meios 1 e 2.

Integrando a lei de Gauß nesse cilindro, obtemos:

$$\nabla \cdot D = \rho \Rightarrow \int_V \nabla \cdot D \, d^3x = \int_V \rho \, d^3x$$

Usando o teorema da divergência, temos:

$$\oint_{\partial V} D \cdot n \, d^2x = \int_V \rho \, d^3x$$

Supondo que o cilindro seja pequeno e suficiente para tomarmos os componentes elétricos aproximadamente constantes em cada um dos meios, podemos escrever

$$D_1 \cdot n_1 \delta A_1 + D_2 \cdot n_2 \delta A_2 + (\text{fluxo na superfície lateral}) = \int_V \rho \, d^3x,$$

em que os subscritos identificam os campos nos diferentes meios. Tomando, então o limite $h \rightarrow 0$, temos que a área lateral do cilindro desaparece, implicando o anulamento do fluxo através dela. Por outro lado, como existe uma

carga finita dentro do cilindro, devemos fazer $p \rightarrow \infty$ conforme $h \rightarrow 0$.

Portanto, a densidade de carga superficial sobre a interface $\bar{p} = ph$ permanece finita e podemos escrever:

$$\int p d^3x = \int \bar{p} d^3x.$$

Ademais, nessa situação temos que: $\mathbf{l}n_2 = -\mathbf{l}n_1 \equiv \mathbf{l}n_{12}$ e $\delta A_1 = \delta A_2 \equiv \delta A$,

levando a:

$$(\mathbb{D}_2 - \mathbb{D}_1) \cdot \mathbf{l}n_{12} \delta A = \bar{p} \delta A \Rightarrow (\mathbb{D}_2 - \mathbb{D}_1) \cdot \mathbf{l}n_{12} = \bar{p}$$

Logo, a componente normal do vetor de deslocamento elétrico apresenta uma descontinuidade na interface entre meios proporcional à densidade superficial de carga acumulada sobre tal interface.

Procedendo de forma similar com a equação de Gauss magnética:

$$\nabla \cdot \mathbf{B} = 0,$$

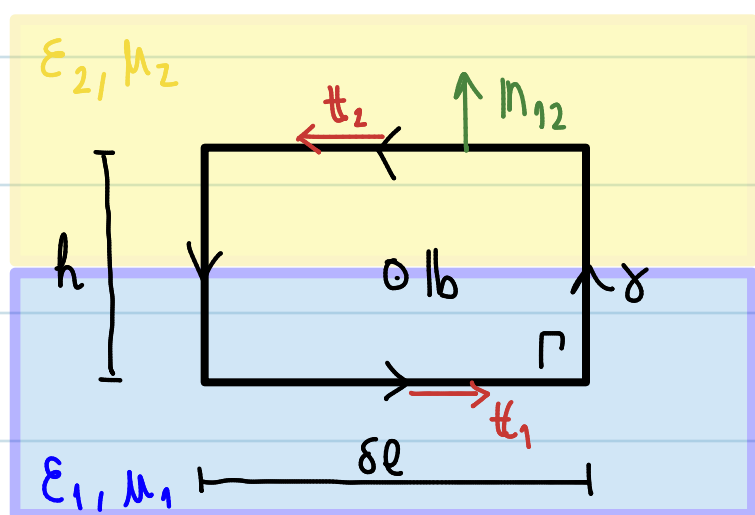
obtemos a seguinte condição de contorno:

$$(\mathbf{B}_2 - \mathbf{B}_1) \cdot \mathbf{l}n_{12} = 0$$

Exercício 8: "Demonstre a condição de contorno para a componente normal do campo magnético."

B - Componentes tangenciais

Seja novamente a interface entre dois meios caracterizados por ϵ_1, μ_1 e ϵ_2, μ_2 e considere um circuito retangular orientado γ com altura h e



base δl entre os dois meios. Integrando a lei de Faraday

$$\nabla \times \mathbf{E} = -\partial_t \mathbf{B}$$

sobre a superfície limitada por γ e invocando o teorema de Stokes, temos:

$$\int_{\Gamma} (\nabla \times \mathbf{E}) \cdot \mathbf{l}_b \, d^2x = - \int_{\Gamma} (\partial_t \mathbf{B}) \cdot \mathbf{l}_b \, d^2x, \quad \partial\Gamma = \gamma$$

$$\Rightarrow \oint_{\gamma} \mathbf{E} \cdot d\mathbf{l} = - \int_{\Gamma} \partial_t \mathbf{B} \cdot \mathbf{l}_b \, d^2x,$$

Novamente, supondo as dimensões de γ pequenas o suficiente para formarmos o campo elétrico aproximadamente constante ao longo dos lados do retângulo paralelos à interface, obtemos:

$$|\mathbf{E}_2 \cdot \mathbf{t}_2| \delta l + |\mathbf{E}_1 \cdot \mathbf{t}_1| \delta l + Q = - \int_{\Gamma} \partial_t \mathbf{B} \cdot \mathbf{l}_b \, d^2x,$$

em que a quantidade Q representa a contribuição dos lados do retângulo γ perpendulares à interface à circulação do campo elétrico. Notamos que os vetores unitários tangentes \mathbf{t}_1 e \mathbf{t}_2 satisfazem as seguintes relações:

$$\mathbf{t}_2 = \mathbf{l} \times \mathbf{n}_{12} = -\mathbf{t}_1,$$

em que \mathbf{l} é o vetor unitário normal à superfície Γ e \mathbf{n}_{12} , o vetor unitário normal à interface entre os meios 1 e 2. Tomando o limite $h \rightarrow 0$, temos

que $Q \xrightarrow{h \rightarrow 0} 0$ e que

$$\lim_{h \rightarrow 0} \int_{\Gamma} \partial_t \mathbb{B} \cdot \mathbf{l} d^2 \mathbf{x} = 0,$$

pois $\partial_t \mathbb{B}$ permanece finita conforme a área limitada pela curva γ desaparece. Temos, portanto, que:

$$(\mathbb{E}_2 \cdot \mathbf{t}_2 + \mathbb{E}_1 \cdot \mathbf{t}_1) \delta l = 0$$

$$\Rightarrow \mathbf{l} \times \mathbf{n}_{12} \cdot (\mathbb{E}_2 - \mathbb{E}_1) = 0$$

$$\Rightarrow \mathbf{l} \cdot \mathbf{n}_{12} \times (\mathbb{E}_2 - \mathbb{E}_1) = 0.$$

Finalmente, notando que a orientação de \mathbf{l} contida em um plano paralelo à interface é arbitrária, concluímos que:

$$\mathbf{n}_{12} \times (\mathbb{E}_2 - \mathbb{E}_1) = 0.$$

Logo, as componentes tangenciais do campo elétrico são contínuas na interface entre dois meios.

Exercício 9: "Demonstre que as componentes tangenciais do campo \mathbb{H} apresentam

uma descontinuidade na interface proporcional à densidade de corrente superficial \bar{J} , i.e.,

$$n_2 \times (H_2 - H_1) = \bar{J}.$$

Sugestão: parta da equações de Ampère-Maxwell $\nabla \times H = J + \partial_t D$ e proceda analogamente."

Para meios transparentes como os que temos considerado, $\rho = 0$ e $J = 0$.
Logo, todas as componentes dos campos elétrico e magnético são contínuas na interface.

6 - Reflexão e Refração

Nesta seção, ao estudar a propagação de ondas planas monocromáticas através da interface de dois meios, deduzimos a lei de Snell e as fórmulas de Fresnel. Para tanto, consideramos uma onda plana monocromática incidindo sobre a interface entre dois meios transparentes com índices de refracção n_1 e n_2 . Na situação mais geral devemos considerar além dessa onda incidente, uma onda refletida e uma onda transmitida (refractada). Os fatores de propagação dessas três ondas são:

$$\oplus \text{ Onda Incidente: } e^{i\varphi_i} = e^{i(\mathbf{k}_i \cdot \mathbf{x} - \omega t)}$$

$$\oplus \text{ Onda Refletida: } e^{i\varphi_r} = e^{i(\mathbf{k}_r \cdot \mathbf{x} - \omega t)}$$

$$\oplus \text{ Onda Transmitida: } e^{i\varphi_t} = e^{i(\mathbf{k}_t \cdot \mathbf{x} - \omega t)}$$

Escolhendo nosso sistema de coordenadas de forma que a interface entre os meios coincida com o plano $y=0$, obtemos condições de contorno em $y=0$ que devem ser satisfeitas por todos os pontos sobre tal plano em todos os instantes de tempo. Em particular, os fatores de fase devem coincidir para $y=0$, levando a:

$$e^{i\varphi_i}|_{y=0} = e^{i\varphi_r}|_{y=0} = e^{i\varphi_t}|_{y=0}$$

$$\Rightarrow \mathbf{k}_i \cdot \mathbf{x}|_{y=0} = \mathbf{k}_r \cdot \mathbf{x}|_{y=0} = \mathbf{k}_t \cdot \mathbf{x}|_{y=0}$$

Escrevendo:

$$\mathbf{k}_i = n_1 k_0 u_1^i, \quad \mathbf{k}_r = n_1 k_0 u_1^r, \quad \mathbf{k}_t = n_2 k_0 u_1^t$$

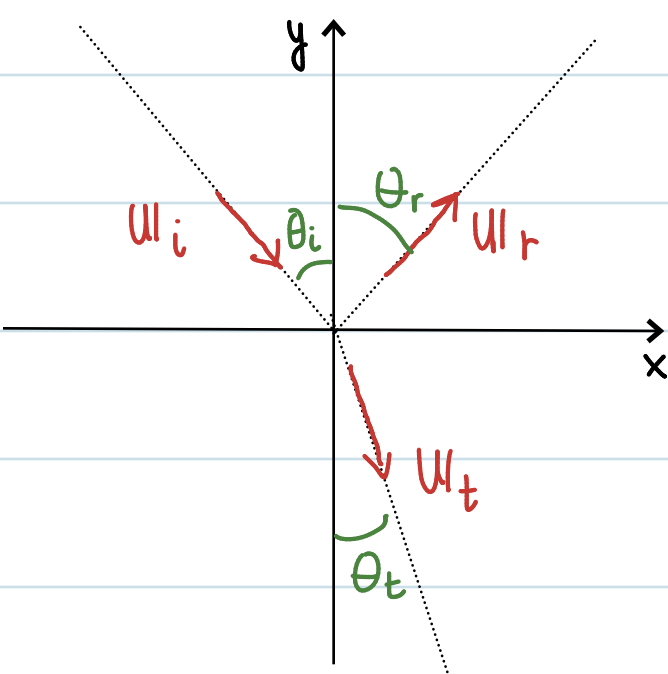
obtemos:

$$n_1 k_0 (u_1^i x + u_3^i z) = n_1 k_0 (u_1^r x + u_3^r z) = n_2 k_0 (u_1^t x + u_3^t z).$$

Como tais relações têm que permanecer válidas para todos os valores de x e z , concluímos que:

$$\begin{cases} n_1 u_1^i = n_1 u_1^r = n_2 u_1^t \\ n_1 u_3^i = n_1 u_3^r = n_2 u_3^t \end{cases} \quad \Leftrightarrow \quad \begin{cases} u_1^i = u_1^r, \quad u_3^i = u_3^r \\ u_1^i = \frac{n_2}{n_1} u_1^t, \quad u_3^i = \frac{n_2}{n_1} u_3^t \end{cases}$$

Essas quatro equações demandam que tanto a onda transmitida quanto a refletida devem permanecer no mesmo plano da onda incidente, uma vez que tais equações demandam a colinearidade das projeções dos vetores u_i^i , u_i^r e u_t^t no plano $y=0$. Denominaremos o plano gerado por u_i^i e pela normal à interface no ponto de incidência de plano de incidência. Podemos, então, sem perda de generalidade, fixar o plano de incidência como o plano $z=0$. Neste caso, temos a seguinte situação:



$$u_1^i = \sin \theta_i, \quad u_2^i = -\cos \theta_i, \quad u_3^i = 0$$

$$u_1^r = \sin \theta_r, \quad u_2^r = \cos \theta_r, \quad u_3^r = 0$$

$$u_1^t = \sin \theta_t, \quad u_2^t = -\cos \theta_t, \quad u_3^t = 0$$

De forma que as condições obtidas para as componentes de u_i^i , u_r^r e u_t^t implicam:

$$u_1^i = u_1^r \Rightarrow \sin \theta_i = \sin \theta_r,$$

$$\Rightarrow \theta_i = \theta_r, \quad \theta_i, \theta_r \in [0, \pi/2]$$

$$u_1^i = \frac{n_2}{n_1} u_1^t \Rightarrow \sin \theta_i = \frac{n_2}{n_1} \sin \theta_t.$$

Com isso obtemos as leis de reflexão e de Snell para refracção. Contudo, tais expressões determinam apenas as direções de propagação dos raios

refletidos e transmitidos, sem fornecer nenhuma informação sobre suas intensidades. Tais amplitudes podem ser facilmente determinadas a partir das condições de contorno que encontramos para o campo eletromagnético na seção anterior.

Conforme vimos anteriormente os campos eletromagnéticos podem ser sempre representados como a superposição de duas polarizações lineares.

Dessa forma, é conveniente escolher uma delas como perpendicular aos planos de incidência, ou seja, paralela ao eixo \hat{O}_z , e a outra paralela aos planos de incidência. Com isso podemos representar os campos elétricos incidente, refletido e refratado da seguinte forma:

$$u^i = \sin \theta_1 \mathbf{e}_1 - \cos \theta_1 \mathbf{e}_2,$$

$$\varphi_i = k_i \cdot \mathbf{x} - wt = n_1 k_0 u^i \cdot \mathbf{x} - wt = n_1 k_0 (x \sin \theta_1 - y \cos \theta_1) - wt,$$

$$E^i = E_\perp^i e^{i\varphi_i} \mathbf{e}_3 + E_{||}^i e^{i\varphi_i} (\cos \theta_1 \mathbf{e}_1 + \sin \theta_1 \mathbf{e}_2),$$

em que E_\perp^i e $E_{||}^i$ representam respectivamente as amplitudes das componentes perpendiculares e paralelas ao plano de incidência do campo elétrico incidente. Naturalmente,

$$B^i = \frac{1}{v_i} \{ u^i \times \mathbf{e}_3 E_\perp^i e^{i\varphi_i} + E_{||}^i e^{i\varphi_i} \mathbf{e}_3 \},$$

$$U^r = \sin \theta_1 \mathbf{e}_1 + \cos \theta_1 \mathbf{e}_2,$$

$$\Phi_r = k_r \cdot \mathbf{x} - wt = n_r k_0 U^r \cdot \mathbf{x} - wt = n_r k_0 (x \sin \theta_1 + y \cos \theta_1) - wt,$$

$$E^r = E_{\perp}^r e^{i\Phi_r} \mathbf{e}_3 + E_{\parallel}^r e^{i\Phi_r} (-\cos \theta_1 \mathbf{e}_1 + \sin \theta_1 \mathbf{e}_2),$$

$$B^r = \frac{1}{V_1} \{ U^r \times \mathbf{e}_3 E_{\perp}^r e^{i\Phi_r} + E_{\parallel}^r e^{i\Phi_r} \mathbf{e}_2 \},$$

e

$$U^t = \sin \theta_2 \mathbf{e}_1 - \cos \theta_2 \mathbf{e}_2,$$

$$\Phi_t = k_t \cdot \mathbf{x} - wt = n_2 k_0 U^t \cdot \mathbf{x} - wt = n_2 k_0 (x \sin \theta_2 - y \cos \theta_2) - wt,$$

$$E^t = E_{\perp}^t e^{i\Phi_t} \mathbf{e}_3 + E_{\parallel}^t e^{i\Phi_t} (\cos \theta_2 \mathbf{e}_1 + \sin \theta_2 \mathbf{e}_2),$$

$$B^t = \frac{1}{V_2} \{ U^t \times \mathbf{e}_3 E_{\perp}^t e^{i\Phi_t} + E_{\parallel}^t e^{i\Phi_t} \mathbf{e}_2 \}.$$

Consequentemente, o campo elétrico no meio 1 é dado pela superposição dos campos incidente e refletido:

$$\begin{aligned} E_1 &= E^i + E^r \\ &= (E_{\perp}^i e^{i\Phi_i} + E_{\perp}^r e^{i\Phi_r}) \mathbf{e}_3 + (E_{\parallel}^i e^{i\Phi_i} - E_{\parallel}^r e^{i\Phi_r}) \cos \theta_1 \mathbf{e}_1 \\ &\quad + (E_{\parallel}^i e^{i\Phi_i} + E_{\parallel}^r e^{i\Phi_r}) \sin \theta_1 \mathbf{e}_2 \end{aligned}$$

enquanto que o campo elétrico no meio 2 corresponde ao campo transmitido

$$\begin{aligned} E_2 &= E^t \\ &= E_{\perp}^t e^{i\Phi_t} \mathbf{e}_3 + E_{\parallel}^t e^{i\Phi_t} (\cos \theta_2 \mathbf{e}_1 + \sin \theta_2 \mathbf{e}_2). \end{aligned}$$

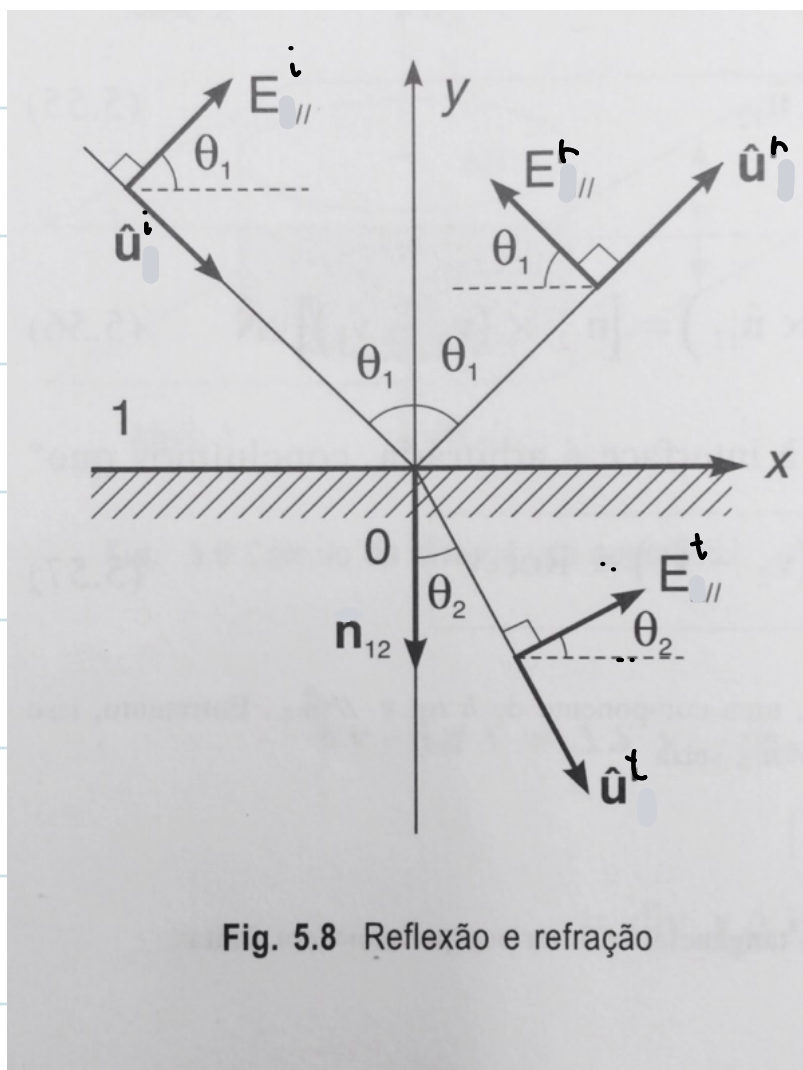


Fig. 5.8 Reflexão e refração

A figura ao lado mostra o plano de incidência da situação que descrevemos. Por simplicidade, foram omitidos o campo magnético e as componentes transversais do campo elétrico. Como não há cargas nem correntes acumuladas na interface entre os meios 1 e 2, temos que todas as componentes de E e B são contínuas. Tomando $\ln_{12} = -\epsilon_2$, temos para as

componentes tangenciais à interface:

$$\ln_{12} \times (\bar{E}_2 - \bar{E}_1) \Big|_{x=0} = 0$$

$$\Rightarrow \epsilon_2 \times \bar{E}_1 \Big|_{x=0} = \epsilon_2 \times \bar{E}_2 \Big|_{x=0}$$

$$\Rightarrow (E_\perp^i + E_\perp^r) \epsilon_1 - (E_{\parallel i}^i - E_{\parallel r}^i) \epsilon_3 \cos \theta_1 = E_\perp^t \epsilon_1 - E_{\parallel t}^i \epsilon_3 \cos \theta_2$$

$$\Rightarrow \begin{cases} E_\perp^i + E_\perp^r = E_\perp^t \\ (E_{\parallel i}^i - E_{\parallel r}^i) \cos \theta_1 = E_{\parallel t}^i \cos \theta_2 \end{cases}$$

Similarmente, o campo magnético no meio 1 corresponde à superposição dos campos magnéticos das ondas incidente e refletida:

$$B_1 = \frac{1}{v_i} \left\{ u^i \times e_3 E_\perp^i e^{i\varphi_i} + u^r \times e_3 E_\perp^r e^{i\varphi_r} + (E_{||}^i e^{i\varphi_i} + E_{||}^r e^{i\varphi_r}) e_3 \right\}$$

Como:

$$u^i \times e_3 = -\sin \theta_1 e_2 - \cos \theta_1 e_1$$

$$u^r \times e_3 = -\sin \theta_1 e_2 + \cos \theta_1 e_1$$

temos:

$$\begin{aligned} B_1 = \frac{1}{v_i} & \left\{ (-E_\perp^i e^{i\varphi_i} + E_\perp^r e^{i\varphi_r}) \cos \theta_1 e_1 + (-E_\perp^i e^{i\varphi_i} - E_\perp^r e^{i\varphi_r}) \sin \theta_1 e_2 \right. \\ & \left. + (E_{||}^i e^{i\varphi_i} + E_{||}^r e^{i\varphi_r}) e_3 \right\}. \end{aligned}$$

Para o meio 2, apenas o campo magnético da onda transmitida contribui.

Notando que:

$$u^t \times e_3 = -\sin \theta_2 e_2 - \cos \theta_2 e_1$$

temos que:

$$B_2 = \frac{1}{v_2} \left\{ -E_\perp^t e^{i\varphi_t} \cos \theta_2 e_1 - E_\perp^t e^{i\varphi_t} \sin \theta_2 e_2 + E_{||}^t e^{i\varphi_t} e_3 \right\}.$$

De forma que a continuidade das componentes magnéticas tangenciais à interface demanda:

$$n_{12} \times (B_2 - B_1) \Big|_{x=0} = 0$$

$$\Rightarrow e_2 \times B_1 \Big|_{x=0} = e_2 \times B_2 \Big|_{x=0}$$

$$\Rightarrow \frac{1}{v_i} \left\{ (E_\perp^i - E_\perp^r) \cos \theta_1 e_3 + (E_{||}^i + E_{||}^r) e_1 \right\} = \frac{1}{v_2} \left\{ E_\perp^t \cos \theta_2 e_3 + E_{||}^t e_1 \right\}$$

$$\Rightarrow \begin{cases} \frac{1}{v_1} (E_{\perp}^i - E_{\perp}^r) \cos \theta_1 = \frac{1}{v_2} E_{\perp}^t \cos \theta_2 \\ \frac{1}{v_1} (E_{\parallel}^i + E_{\parallel}^r) = \frac{1}{v_2} E_{\parallel}^t \end{cases}$$

Observamos que as equações relacionando a amplitude incidente com as refletida e transmitida se separam naturalmente em dois grupos independentes, um envolvendo apenas as componentes transversais ao plano de incidência e o outro com apenas as amplitudes paralelas. Justificamos, assim, a conveniência da escolha das polarizações lineares paralela e perpendicular ao plano de incidência.

Assim como no caso da difração, estamos interessados nas amplitudes relativas, definidas por:

$$\textcircled{\ast} \text{ Amplitudes de reflexão: } R_{\perp} = A_{\perp}^r / A_{\perp}^i, \quad R_{\parallel} = A_{\parallel}^r / A_{\parallel}^i$$

$$\textcircled{\ast} \text{ Amplidades de transmissão: } T_{\perp} = A_{\perp}^t / A_{\perp}^i, \quad T_{\parallel} = A_{\parallel}^t / A_{\parallel}^i.$$

Em termos dessas grandezas, as equações obtidas constituem dois sistemas de duas equações com duas incógnitas, que resolvemos a seguir.

$\textcircled{\ast}$ Amplidades transversais

$$\begin{cases} E_{\perp}^i + E_{\perp}^r = E_{\perp}^t \\ \frac{1}{v_1} (E_{\perp}^i - E_{\perp}^r) \cos \theta_1 = \frac{1}{v_2} E_{\perp}^t \cos \theta_2 \end{cases} \Rightarrow \begin{cases} 1 + R_{\perp} = T_{\perp} \\ 1 - R_{\perp} = \frac{v_1 \cos \theta_2}{v_2 \cos \theta_1} \end{cases}$$

Somando as duas equações obtemos:

$$2 = \left(1 + \frac{v_1}{v_2} \frac{\cos \theta_2}{\cos \theta_1} \right) T_{\perp} = \left(1 + \frac{n_2}{n_1} \frac{\cos \theta_2}{\cos \theta_1} \right) T_{\perp}$$

em que uramos a relação entre a velocidade de propagação da luz no meio com índice de refração n_j e a velocidade da luz no vácuo,

$$v_j = \frac{c}{n_j} \quad \text{Invocando a lei de Snell,}$$

$$\frac{n_2}{n_1} = \frac{\sin \theta_1}{\sin \theta_2}$$

obtemos:

$$2 = \left(1 + \frac{\sin \theta_1 \cos \theta_2 + \cos \theta_1 \sin \theta_2}{\cos \theta_1 \sin \theta_2} \right) T_{\perp} = \frac{\sin \theta_1 \cos \theta_2 + \cos \theta_1 \sin \theta_2}{\cos \theta_1 \sin \theta_2} T_{\perp}$$

$$\Rightarrow T_{\perp} = \frac{2 \cos \theta_1 \sin \theta_2}{\sin(\theta_1 + \theta_2)}$$

Substituindo esse resultado na primeira equação do sistema, obtemos:

$$R_{\perp} = T_{\perp} - 1 = - \frac{\sin(\theta_1 - \theta_2)}{\sin(\theta_1 + \theta_2)}$$

⊗ Amplitudes paralelas

$$\begin{cases} \frac{1}{v_1} (E_{\parallel}^i + E_{\parallel}^r) = \frac{1}{v_2} E_{\parallel}^t \\ \cos \theta_1 (E_{\parallel}^i - E_{\parallel}^r) = \cos \theta_2 E_{\parallel}^t \end{cases} \Rightarrow \begin{cases} 1 + R_{\parallel} = \frac{v_1}{v_2} T_{\parallel} \\ 1 - R_{\parallel} = \frac{\cos \theta_2}{\cos \theta_1} T_{\parallel} \end{cases}$$

Somando as duas equações obtemos:

$$2 = \left(\frac{v_1}{v_2} + \frac{\cos \theta_2}{\cos \theta_1} \right) T_{\parallel} = \left(\frac{\sin \theta_1}{\sin \theta_2} + \frac{\cos \theta_2}{\cos \theta_1} \right) T_{\parallel} = \frac{\sin \theta_1 \cos \theta_2 + \sin \theta_2 \cos \theta_1}{\sin \theta_2 \cos \theta_1} T_{\parallel}$$

$$\Rightarrow T_{\parallel} = \frac{2 \sin \theta_2 \cos \theta_1}{\sin \theta_1 \cos \theta_1 + \sin \theta_2 \cos \theta_2},$$

em que utilizamos a lei de Snell em termos da velocidade de propagação da luz no meio, a saber,

$$\frac{v_1}{v_2} = \frac{\sin \theta_1}{\sin \theta_2}.$$

Finalmente, substituindo esse resultado na segunda equação, concluímos que:

$$R_{\parallel} = 1 - \frac{\cos \theta_2}{\cos \theta_1} T_{\parallel} = \frac{\tan(\theta_1 - \theta_2)}{\tan(\theta_1 + \theta_2)}.$$

Tais resultados são conhecidos como **fórmulas de Fresnel** para as amplitudes de reflexão e transmissão.

As fórmulas de Fresnel se simplificam enormemente para o caso da incidência normal, que corresponde a tomarmos $\theta_1 = \theta_2 = 0$:

$$T_{\parallel} = T_{\perp} = \frac{2n_1}{n_1 + n_2},$$

$$R_{\parallel} = -R_{\perp} = -\frac{n_1 - n_2}{n_1 + n_2}.$$

Exercício 10: "Demonstre as fórmulas de Fresnel para a incidência normal."

De fato, se $\theta_1 = 0$, o plano de incidência não está definido. Já a

diferença de sinal entre R_{\parallel} e R_{\perp} resulta do fato de termos adotado convenções opostas para as orientações de E_{\parallel}^r e E_{\perp}^r , a saber, orientamos E_{\perp}^r no mesmo sentido de E_{\perp}^i , ao passo que E_{\parallel}^r está no sentido oposto a E_{\parallel}^i .

Finalmente, observamos que na reflexão da luz ao atravessar de uma interface entre um meio menor refringente (e.g., o ar) e um meio refringente (e.g., o vidro), temos de $n_1 < n_2$ que $n_1 - n_2 < 0$ de forma que, das fórmulas de Fresnel para incidência normal, obtemos:

$$R_{\parallel} = \frac{R_{\parallel}^r}{R_{\parallel}^i} > 0$$

$$R_{\perp} = \frac{R_{\perp}^r}{R_{\perp}^i} < 0$$

mostrando que nesse caso as direções de E^i e E^r são opostas, correspondendo à defasagem de π disutida anteriormente.